

SXG bohrt bestes Bohrloch mit 331 m und 6,8 g/t Gold und durchschneidet 18 hochgradige Adern und 200 m neigungsabhängige Erweiterung der zuvor gemeldeten Ergebnisse

7 Abschnitte >100 g/t Gold, bis zu 4.190 g/t Gold und Rising Sun Gebiet bleibt offen und Ergebnisse für 18 Löcher stehen noch aus

Vancouver, Kanada - Mawson Gold Limited ("Mawson" oder das "Unternehmen") (TSX:MAW) (Frankfurt:MXR) (PINKSHEETS: MWSNF - <https://www.commodity-tv.com/ondemand/companies/profil/mawson-gold-ltd/>) gibt das bisher beste Bohrloch SDDSC082 auf dem zu 100 % unternehmenseigenen Projekt Sunday Creek in Victoria, Australien, bekannt. Es handelt sich dabei um einen spektakulär breiten und hochgradigen Abschnitt mit einer Gold-Antimon-Mineralisierung von **331,5 m @ 6,8 g/t Au auf 413,6 m** (ungeschnitten) **in einer 180 m bis 290 m (durchschnittlich 200 m) neigungsabwärts verlaufenden Erweiterung** einer zuvor gebohrten mineralisierten Zone (Abbildung 5).

SDDSC082 enthält die höchsten Gehalte (**bis zu 4.190 g/t Au**) und beinhaltet drei der fünf besten Einzelabschnitte bei Sunday Creek: **13,1 m @ 91,7 g/t Au** aus 413,6 m, **68,5 m @ 4,8 g/t Au** aus 506,3 m und **5,0 m @ 60,9 g/t Au** aus 588,0 m. **Sieben untersuchte Abschnitte weisen >100 g/t Au auf (bis zu 4.190 g/t Au), 20 untersuchte Abschnitte weisen >15 bis 100 g/t Au auf und sieben Abschnitte weisen >5% Sb auf (bis zu 24,3% Sb).**

Sunday Creek befindet sich zu 100 % im Besitz von Southern Cross Gold (SXG"), einem an der ASX notierten Unternehmen, das zu 51 % im Besitz von Mawson ist. Vier Bohrgeräte bohren weiterhin im Hauptbohrgebiet bei Sunday Creek, wo 18 Löcher (SDDSC079, 83, 85-86, 88-99, 101, 103) derzeit geologisch aufbereitet und chemisch analysiert werden und vier Löcher (SDDSC0100, 102, 104, 105) im Bohrfortschritt sind (Abbildungen 1-2).

Höhepunkte:

- SDDSC082, das auf dem Grundstück Rising Sun gebohrt wurde, durchschnitt **331,5 m @ 7,1 g/t AuEq (6,8 g/t Au, 0,2 %Sb) auf 413,6 m** (ungeschnitten), die 18 hochgradige Adern durchqueren, und ist eine **180 m bis 290 m (durchschnittlich 200 m) neigungsabwärts verlaufende Erweiterung** von Bohrloch SDDSC077B (404,4 m @ 5,6 g/t AuEq auf 374,0 m), das bereits am 5. September 2023 gemeldet wurde (Abbildungen 1-3).

Foto 1: SDDSC082 aus 418,6 m (innerhalb des untersuchten Abschnitts 0,2 m @ 4.190 g/t AuEq (4.190 g/t Au, 0,1 % Sb) von 418,4 m bis 418,6 m (Tabelle 3)), der sichtbares Gold innerhalb einer Quarz-Karbonat- und Stibnit-Ader zeigt. Millimeterskala



- Gemessen am Gehalt und der Mächtigkeit ist SDDSC082 (kumulative 2.418 AuEq g/t x m) das beste Bohrloch, das bisher auf dem Projekt gebohrt wurde, und stellt eine bedeutende Erweiterung des mineralisierten Fußabdrucks von Rising Sun dar. Das Bohrloch traf auf eine kontinuierliche Mineralisierung, die von der Oberfläche bis in eine Tiefe von 550 m kartiert werden kann, und erbohrte auch die tiefste Mineralisierung auf dem Projekt in einer vertikalen Tiefe von 1 km (Abbildungen 1-3).
- Das Bohrloch SDDSC082 wurde in einer Ost-West-Ausrichtung innerhalb des Wirtshorizonts in einem großen Winkel zu den nach Nordwesten verlaufenden mineralisierten Adern gebohrt. Es wurden 18 einzelne hochgradige Adersätze durchteuft. Eine Auswahl der Highlights sind:
 - **13,1 m @ 93,8 g/t AuEq (91,7 g/t Au, 1,3 %Sb)** aus 413,6 m, einschließlich:
 - 1,7 m @ 246,2 g/t AuEq (230,6 g/t Au, 9,9 %Sb) aus 413,6 m
 - **0,2 m @ 4.190 g/t AuEq (4.190 g/t Au, 0,1 %Sb)** aus 418,4 m
 - **0,9 m @ 42,9 g/t AuEq (42,3 g/t Au, 0,4 %Sb)** aus 480,6 m
 - **68,5 m @ 5,3 g/t AuEq (4,8 g/t Au, 0,4 %Sb)** aus 506,3 m, einschließlich:
 - 0,4 m @ 18,8 g/t AuEq (18,7 g/t Au, 0,1 %Sb) aus 515,2 m
 - 0,5 m @ 29,2 g/t AuEq (28,2 g/t Au, 0,6 %Sb) aus 539,2 m
 - 1,7 m @ 14,1 g/t AuEq (12,3 g/t Au, 1,2 %Sb) aus 544,5 m
 - 5,4 m @ 43,9 g/t AuEq (41,9 g/t Au, 1,3 %Sb) aus 567,3 m
 - **5,0 m @ 61,4 g/t AuEq (60,9 g/t Au, 0,4 %Sb)** aus 588,0 m, einschließlich:
 - 0,9 m @ 351,3 g/t AuEq (351,2 g/t Au, 0,0 %Sb) aus 591,4 m
 - **21,7 m @ 6,5 g/t AuEq (6,5 g/t Au, 0,0 %Sb)** aus 622,0 m, einschließlich:
 - 0,6 m @ 12,2 g/t AuEq (12,2 g/t Au, 0,0 %Sb) aus 641,2 m
 - 0,4 m @ 351,0 g/t AuEq (351,0 g/t Au, 0,0 %Sb) aus 643,4 m
 - **31,1 m @ 3,9 g/t AuEq (3,1 g/t Au, 0,5 %Sb)** aus 652,0 m, einschließlich:
 - 1,0 m @ 11,7 g/t AuEq (11,7 g/t Au, 0,0 %Sb) aus 654,0 m
 - 1,6 m @ 48,6 g/t AuEq (39,3 g/t Au, 5,9 %Sb) aus 658,9 m
 - 1,1 m @ 16,6 g/t AuEq (7,8 g/t Au, 5,6 %Sb) aus 672,8 m
 - **17,0 m @ 1,5 g/t AuEq (1,4 g/t Au, 0,0 %Sb)** aus 691,0 m, einschließlich:
 - 1,0 m @ 16,5 g/t AuEq (16,3 g/t Au, 0,1 %Sb) aus 697,0 m
 - **9,5 m @ 9,8 g/t AuEq (8,1 g/t Au, 1,1 %Sb)** aus 738,0 m, einschließlich:
 - 2,3 m @ 39,5 g/t AuEq (32,9 g/t Au, 4,2 %Sb) aus 742,8 m
 - **4,0 m @ 5,1 g/t AuEq (4,8 g/t Au, 0,2 %Sb)** aus 842,0 m, einschließlich:
 - 1,0 m @ 19,4 g/t AuEq (18,3 g/t Au, 0,7 %Sb) aus 842,0 m
 - **3,6 m @ 5,4 g/t AuEq (5,4 g/t Au, 0,0 %Sb)** aus 852,6 m, einschließlich:
 - 0,4 m @ 49,6 g/t AuEq (49,6 g/t Au, 0,0 %Sb) aus 854,2
- Darüber hinaus werden 5 weitere Löcher (SDDSC080, 81, 84, 87 und 88) aus flacheren Bohrungen bei Rising Sun gemeldet. Diese wurden in einer NE-SW-Ausrichtung gebohrt, um die oberen Ebenen von drei Adern bei Rising Sun einzeln zu erproben (Abbildungen 1-2). Zu den Highlights gehören:
 - SDDSC080: 3,0 m @ 11,7 g/t AuEq (11,0 g/t Au, 0,4 %Sb) aus 305,0 m
 - SDDSC081: **8,1 m @ 7,5 g/t AuEq (5,2 g/t Au, 1,4 %Sb)** aus 289,0 m, einschließlich
 - 0,7 m @ 75,2 g/t AuEq (52,3 g/t Au, 14,5 %Sb) aus 289,0 m
 - 0,2 m @ 30,9 g/t AuEq (14,6 g/t Au, 10,3 %Sb) aus 294,7 m
 - SDDSC084: 2,3 m @ 3,3 g/t AuEq (3,3 g/t Au, 0,0 %Sb) aus 245,8 m, einschließlich

- 0,4 m @ 15,1 g/t AuEq (15,1 g/t Au, 0,0 %Sb) aus 246,5 m
 - SDDSC087: 0,8 m @ 12,8 g/t AuEq (12,8 g/t Au, 0,0 %Sb) aus 222,9 m
 - 5,7 m @ 1,3 g/t AuEq (1,2 g/t Au, 0,0 %Sb) aus 230,3 m, einschließlich
 - 0,4 m @ 10,2 g/t AuEq (9,5 g/t Au, 0,5 %Sb) aus 230,3 m
- Das Gebiet Rising Sun ist weiterhin neigungsaufwärts, neigungsabwärts und entlang des Streichens offen. Achtzehn Bohrlöcher (SDDSC079, 83, 85-86, 88-99, 101, 103) werden derzeit bearbeitet und analysiert; vier Bohrlöcher (SDDSC100, 102, 104, 105) sind derzeit in Arbeit (Abbildungen 1-2).
- Mawson besitzt 93.750.000 Aktien von SXG (51 %), was einem Wert von 73,1 Mio. A\$ (63,3 Mio. C\$) entspricht, basierend auf dem Schlusskurs von SXG am 18. Oktober 2023 AEST.

Noora Ahola, Mawson Interim CEO, erklärt: *"Sunday Creek beweist, dass das alte Sprichwort zutrifft, dass großartige Projekte durch weitere, gezielte Bohrungen immer besser werden. So auch mit der Veröffentlichung von SDDSC082 (331,5 m @ 6,8 g/t Au (ungeschnitten)) als das beste und bedeutendste Bohrloch, das bisher bei Sunday Creek gebohrt wurde. Es ist im Durchschnitt eine 200 m neigungsabwärts verlaufende Erweiterung von SDDSC077B, dem bisher besten Bohrloch von SXG, das erst vor etwas mehr als einem Monat gebohrt wurde, und durchteufte 18 Adern mit sehr hohen Gehalten (bis zu 4.190 g/t Au) in einer neuen Ader, die nur 400 m vertikal unter der Oberfläche liegt."*

SXG hat für die Zonen Rising Sun und Apollo bei Sunday Creek ein zielgerichtetes Bohrprogramm über 19.000 m bis April 2024, was uns zu der Annahme veranlasst, dass wir in den kommenden Monaten weitere hervorragende Bohrergebnisse sehen werden."

Ergebnisse Diskussion

Bohrung SDDSC082 **331,5 m @ 7,1 g/t AuEq (6,8 g/t Au, 0,2 %Sb) von 413,6 m** (ungeschnitten) wurde als eine 180 m bis 230 m neigungsabwärts verlaufende Erweiterung von SDDSC077B in den oberen Teilen des mineralisierten Systems und in SDDSC082 bis zu 290 m neigungsabwärts von SDDSC050 (305 m @ 2,4 g/t AuEq, gemeldet am 20. November 2022) gebohrt. Die Mineralisierung in SDDSC082 erstreckte sich von 331,5 m bis 1.065,3 m in der Tiefe, was einer Gesamtlänge von 733,8 m entspricht.

Gemessen an der Mächtigkeit ist SDDSC082 (kumulativ 2.418 AuEq g/t x m) das bisher beste Bohrloch auf dem Projekt und übertrifft SDDSC077B (kumulativ 2.272 AuEq g/t x m) und SDDSC050 (kumulativ 852 AuEq g/t x m).

Das Bohrloch SDDSC082 stellt eine bedeutende Erweiterung des mineralisierten Fußabdrucks dar. Das Bohrloch traf auf eine kontinuierliche Mineralisierung, die von der Oberfläche bis in 500 m Tiefe ausgedehnt werden kann, und erbohrte auch die tiefste Mineralisierung auf dem Projekt in 1 km vertikaler Tiefe (0,6 m @ 20,0 g/t AuEq (16,4 g/t Au, 2,3 %Sb) aus 1.064,5 m (Abbildungen 1-3).

SDDSC082 durchschneidet 18 einzelne hochgradige Adersätze (Abbildungen 1-3). **Sieben Abschnitte enthielten >100 g/t Au (bis zu 4.190 g/t Au), 20 Abschnitte wiesen >15 g/t Au bis zu 100 g/t Au auf und 7 Abschnitte enthielten >5% Sb (bis zu 24,3% Sb).** Das Bohrloch wurde parallel zum einhüllenden Brekziengang gebohrt, jedoch in einem großen Winkel zum vorherrschenden hochgradigen NW-SW-Aderverlauf. Da das Bohrloch relativ steil in die steilen mineralisierten Adersätze gebohrt wurde, wird die tatsächliche Mächtigkeit des mineralisierten Abschnitts auf etwa 40 bis 50 % der beprobten Mächtigkeit geschätzt.

Der höchstgradige Abschnitt (0,2 m mit 4.190 g/t Au) wurde in einer bisher nicht erbohrten Ader am nicht erbohrten westlichen Rand des Gebiets Rising Sun durchteuft (Abbildung 2). Sie scheint sich blind unterhalb einer Ausbuchtung in der Gesteinsbrekzie zu bilden und ist neigungsabwärts offen. Die Entwicklung dieser Gehalte 400 m vertikal unter der Oberfläche deutet auch darauf hin, dass sich das superhochgradige epizonale System bei Sunday Creek auf höhere Ebenen ausdehnt als bisher angenommen (440 m im Vergleich zu den bisher angenommenen 700 m Tiefe), wodurch sich weitere Möglichkeiten für hochgradige

Bonanza-Gehalte in geringer Tiefe eröffnen. Darüber hinaus ist das Gebiet unmittelbar westlich dieser neuen Ader nach Westen und in die Tiefe offen.

Eine vollständige Liste der bedeutenden Kreuzungen aus SDDSC082 beinhaltet:

- 13,1 m @ 93,8 g/t AuEq (91,7 g/t Au, 1,3 %Sb) aus 413,6 m, einschließlich:
 - 1,7 m @ 246,2 g/t AuEq (230,6 g/t Au, 9,9 %Sb) aus 413,6 m
 - 0,2 m @ 4.190 g/t AuEq (4190 g/t Au, 0,1 %Sb) aus 418,4 m
- 0,3 m @ 11,0 g/t AuEq (10,9 g/t Au, 0,0 %Sb) aus 471,7 m
- 0,9 m @ 42,9 g/t AuEq (42,3 g/t Au, 0,4 %Sb) aus 480,6 m
- 0,5 m @ 6,2 g/t AuEq (6,2 g/t Au, 0,0 %Sb) aus 494,3 m
- 68,5 m @ 5,3 g/t AuEq (4,8 g/t Au, 0,4 %Sb) aus 506,3 m, einschließlich:
 - 0,4 m @ 18,8 g/t AuEq (18,7 g/t Au, 0,1 %Sb) aus 515,2 m
 - m @ 7,3 g/t AuEq (5,3 g/t Au, 1,3 %Sb) aus 522,0 m
 - 0,7 m @ 6,9 g/t AuEq (5,2 g/t Au, 1,1 %Sb) aus 532,5 m
 - 0,5 m @ 29,2 g/t AuEq (28,2 g/t Au, 0,6 %Sb) aus 539,2 m
 - 1,7 m @ 14,1 g/t AuEq (12,3 g/t Au, 1,2 %Sb) aus 544,5 m
 - 5,4 m @ 43,9 g/t AuEq (41,9 g/t Au, 1,3 %Sb) aus 567,3 m
- 5,0 m @ 61,4 g/t AuEq (60,9 g/t Au, 0,4 %Sb) aus 588,0 m, einschließlich:
 - 0,4 m @ 7,1 g/t AuEq (1,8 g/t Au, 3,4 %Sb) aus 589,0 m
 - 0,9 m @ 351,3 g/t AuEq (351,2 g/t Au, 0,0 %Sb) aus 591,4 m
- 21,7 m @ 6,5 g/t AuEq (6,5 g/t Au, 0,0 %Sb) aus 622,0 m, einschließlich:
 - 0,6 m @ 12,2 g/t AuEq (12,2 g/t Au, 0,0 %Sb) aus 641,2 m
 - 0,4 m @ 351,0 g/t AuEq (351,0 g/t Au, 0,0 %Sb) aus 643,4 m
- 31,1 m @ 3,9 g/t AuEq (3,1 g/t Au, 0,5 %Sb) aus 652,0 m, einschließlich:
 - 1,0 m @ 11,7 g/t AuEq (11,7 g/t Au, 0,0 %Sb) aus 654,0 m
 - 1,6 m @ 48,6 g/t AuEq (39,3 g/t Au, 5,9 %Sb) aus 658,9 m
 - 1,1 m @ 16,6 g/t AuEq (7,8 g/t Au, 5,6 %Sb) aus 672,8 m
- 17,0 m @ 1,5 g/t AuEq (1,4 g/t Au, 0,0 %Sb) aus 691,0 m, einschließlich:
 - 1,0 m @ 16,5 g/t AuEq (16,3 g/t Au, 0,1 %Sb) aus 697,0 m
- 9,9 m @ 1,1 g/t AuEq (1,0 g/t Au, 0,1 %Sb) aus 712,1 m, einschließlich:
 - 0,2 m @ 34,8 g/t AuEq (34,7 g/t Au, 0,1 %Sb) aus 712,1 m
- 9,5 m @ 9,8 g/t AuEq (8,1 g/t Au, 1,1 %Sb) aus 738,0 m, einschließlich:
 - 2,3 m @ 39,5 g/t AuEq (32,9 g/t Au, 4,2 %Sb) aus 742,8 m
- 4,0 m @ 5,1 g/t AuEq (4,8 g/t Au, 0,2 %Sb) aus 842,0 m, einschließlich:
 - 1,0 m @ 19,4 g/t AuEq (18,3 g/t Au, 0,7 %Sb) aus 842,0 m
- 3,6 m @ 5,4 g/t AuEq (5,4 g/t Au, 0,0 %Sb) aus 852,6 m, einschließlich:
 - 0,4 m @ 49,6 g/t AuEq (49,6 g/t Au, 0,0 %Sb) aus 854,2 m
- 1,0 m @ 5,9 g/t AuEq (5,9 g/t Au, 0,0 %Sb) aus 995,4 m, einschließlich:
 - 0,3 m @ 18,4 g/t AuEq (18,4 g/t Au, 0,0 %Sb) aus 995,4 m
- 0,1 m @ 24,3 g/t AuEq (24,3 g/t Au, 0,0 %Sb) aus 1.037,6 m
- 0,6 m @ 20,0 g/t AuEq (16,4 g/t Au, 2,3 %Sb) aus 1.064,5 m

Darüber hinaus werden hier weitere 5 Löcher (SDDSC080, 81, 84, 87, 88) aus einem flacheren Bohrfächer bei Rising Sun gemeldet. Diese Löcher wurden von Nordosten nach Südwesten gebohrt und erprobten jeweils nur einen mineralisierten Adersatz, insgesamt also drei Adern. Alle Löcher stießen auf Gold, mit Ausnahme von SDDSC088, das in eine neu definierte Verwerfung (die Monarch-Verwerfung) gebohrt wurde, die die Mineralisierung versetzt. Zu den Highlights gehören:

- SDDSC080: 3,0 m @ 11,7 g/t AuEq (11,0 g/t Au, 0,4 %Sb) aus 305,0 m

- 0,9 m @ 5,7 g/t AuEq (4,9 g/t Au, 0,5 %Sb) aus 318,0 m
- SDDSC081: 8,1 m @ 7,5 g/t AuEq (5,2 g/t Au, 1,4 %Sb) aus 289,0 m, einschließlich:
 - 0,7 m @ 75,2 g/t AuEq (52,3 g/t Au, 14,5 %Sb) aus 289,0 m
 - 0,2 m @ 30,9 g/t AuEq (14,6 g/t Au, 10,3 %Sb) aus 294,7 m
- SDDSC084: 2,3 m @ 3,3 g/t AuEq (3,3 g/t Au, 0,0 %Sb) aus 245,8 m, einschließlich:
 - 0,4 m @ 15,1 g/t AuEq (15,1 g/t Au, 0,0 %Sb) aus 246,5 m
- SDDSC087: 0,8 m @ 12,8 g/t AuEq (12,8 g/t Au, 0,0 %Sb) aus 222,9 m
 - 5,7 m @ 1,3 g/t AuEq (1,2 g/t Au, 0,0 %Sb) aus 230,3 m, einschließlich:
 - 0,4 m @ 10,2 g/t AuEq (9,5 g/t Au, 0,5 %Sb) aus 230,3 m

Ausstehende Ergebnisse und Aktualisierung

Mit vier Diamantbohrgeräten, die vor Ort in Betrieb sind, und 11,8 Mio. AUD in bar (Stand: 31. August 2023) wird SXG nach eigenen Angaben bis April 2024 weitere 19.000 m bohren. SXG hat im Jahr 2023 bisher 54 Löcher für 24.555 m im Hauptprojektgebiet und 12 Löcher für 2.383 m in regionalen Erweiterungen gebohrt.

Demonstrationsvolumen: 18 Bohrlöcher (SDDSC079, 83, 85-86, 88-99, 101, 103) werden derzeit bearbeitet und analysiert, vier Bohrlöcher (SDDSC100, 102, 104, 105) sind derzeit in Arbeit (Abbildungen 1-2).

Demonstration der Größenordnung: Jüngste Bohrungen zwischen 4 und 8 km entlang des Streichens des Hauptbohrgebiets haben das Vorhandensein der gleichen Gesteinsbrekzien und quer verlaufenden hochgradigen goldhaltigen Adern wie bei Sunday Creek bestätigt. Die Ergebnisse mit hohen Gehalten von bis zu 19,4 g/t Gold innerhalb eines breiten und ausgedehnten Grundgebirges entsprechen den sehr frühen Bohrungen, die in dem Gebiet durchgeführt wurden, das nun das Kernbohrgebiet von Sunday Creek ist. **Das Bohrprogramm hat bewiesen, dass der gesamte 8 km lange Trend und darüber hinaus bei Sunday Creek äußerst aussichtsreich für zukünftige bedeutende Goldentdeckungen ist** (Abbildung 4).

Nachweis des Gehalts: SDDSC082 durchquert 18 einzelne hochgradige Adersätze (Abbildungen 1-3). **Sieben Abschnitte enthielten >100 g/t Au (bis zu 4.190 g/t Au), 20 Abschnitte wiesen >15 g/t Au bis zu 100 g/t Au auf und 7 Abschnitte enthielten >5 % Sb (bis zu 24,3 % Sb).** Das Bohrloch wurde parallel zum einhüllenden Brekzien-Gang gebohrt, jedoch in einem großen Winkel zum vorherrschenden hochgradigen NW-SW-Aderverlauf (Abbildungen 1-2).

Weitere Informationen und Analysen zum Projekt Sunday Creek von Southern Cross Gold finden Sie auf der Website von SXG unter www.southerncrossgold.com.au.

Bei der Mittelwertbildung wird kein oberer Goldgrenzwert angewandt und die Intervalle werden als Bohrmächtigkeit angegeben. Im Rahmen zukünftiger Mineralressourcenstudien wird jedoch das Erfordernis eines oberen Abschneidens der Proben geprüft werden.

Die Abbildungen 1 bis 5 zeigen die Lage des Projekts sowie Grundriss-, Längs- und Querschnittsansichten der hier gemeldeten Bohrergebnisse; die Tabellen 1 bis 3 enthalten Halsband- und Analysedaten. Die tatsächliche Mächtigkeit der gemeldeten mineralisierten Abschnitte wird für SDDSC082 auf etwa 40 bis 50 % und für die anderen gemeldeten Bohrlöcher auf 60 bis 70 % der beprobten Mächtigkeit geschätzt. Niedrigere Gehalte wurden mit einem unteren Cutoff-Gehalt von 0,3 g/t Au über eine maximale Breite von 3 m und höhere Gehalte mit einem Cutoff-Gehalt von 5,0 g/t Au über eine maximale Breite von 1 m geschnitten, sofern nicht anders angegeben.

Technischer Hintergrund und qualifizierte Person

Die qualifizierte Person, Michael Hudson, Executive Chairman und Director von Mawson Gold sowie Fellow des Australasian Institute of Mining and Metallurgy, hat den technischen Inhalt dieser Pressemitteilung geprüft, verifiziert und genehmigt.

Die Analyseproben werden zur Einrichtung von On Site Laboratory Services ("On Site") in Bendigo transportiert, die sowohl nach ISO 9001 als auch nach dem NATA-Qualitätssystem arbeitet. Die Proben

wurden aufbereitet und mit Hilfe der Brandprobe (PE01S-Methode; 25-Gramm-Charge) auf Gold analysiert, gefolgt von der Messung des Goldes in Lösung mit einem Flammen-AAS-Gerät. Die Proben für die Multi-Element-Analyse (BM011 und Over-Range-Methoden nach Bedarf) werden mit Königswasser aufgeschlossen und mit ICP-MS analysiert. Das QA/QC-Programm von Southern Cross Gold besteht aus dem systematischen Einsetzen von zertifizierten Standards mit bekanntem Goldgehalt, Leerproben innerhalb des interpretierten mineralisierten Gesteins und Viertelkernduplikaten. Darüber hinaus werden vor Ort Leerproben und Standards in den Analyseprozess eingefügt.

MAW ist der Ansicht, dass sowohl Gold als auch Antimon, die in der Goldäquivalentberechnung ("AuEq") enthalten sind, angesichts des aktuellen geochemischen Verständnisses, der historischen Produktionsstatistiken und der geologisch analogen Bergbaubetriebe ein angemessenes Potenzial für die Gewinnung von Sunday Creek haben. In der Vergangenheit wurde das Erz von Sunday Creek während des Ersten Weltkriegs vor Ort aufbereitet oder zur Costerfield-Mine, die 54 km nordwestlich des Projekts liegt, zur Aufbereitung transportiert. Der Costerfield-Minenkorridor, der sich nun im Besitz von Mandalay Resources Ltd. befindet, enthält zwei Millionen Unzen Goldäquivalent (Mandalay Q3 2021 Results) und war im Jahr 2020 die sechsthöchste Untertagemine der Welt und ein Top-5-Produzent von Antimon weltweit.

SXG ist der Ansicht, dass es angemessen ist, dieselben Goldäquivalenzvariablen wie Mandalay Resources Ltd. in seinem technischen Bericht Mandalay 2022 vom 25. März 2022 zu verwenden. Die von Mandalay Resources verwendete Goldäquivalenzformel wurde anhand der in der Costerfield Property Brunswick Processing Plant im Jahr 2020 erzielten Ausbeuten berechnet, wobei ein Goldpreis von 1.700 US\$ pro Unze, ein Antimonpreis von 8.500 US\$ pro Tonne und Metallausbeuten für das gesamte Jahr 2021 von 93 % für Gold und 95 % für Antimon zugrunde gelegt wurden, und lautet wie folgt: $AuEq = Au (g/t) + 1,58 \times Sb (\%)$.

Basierend auf der jüngsten Costerfield-Berechnung und angesichts der ähnlichen geologischen Stile und der historischen Behandlung der Mineralisierung von Sunday Creek bei Costerfield ist SXG der Ansicht, dass ein $AuEq = Au (g/t) + 1,58 \times Sb (\%)$ für die anfänglichen Explorationsziele der Gold-Antimon-Mineralisierung bei Sunday Creek angemessen ist.

Über Mawson Gold Limited (TSX:MAW, FRANKFURT:MXR, OTC/PINK:MWSNF)

[Mawson Gold Limited](#) ist ein Explorations- und Erschließungsunternehmen. Mawson hat sich als führendes nordisches Explorationsunternehmen mit seinem zu 100 % im Besitz befindlichen Rajapalot-Gold-Kobalt-Flaggschiffprojekt in Finnland und dem Recht auf Beteiligung am Skellefteå North-Goldprojekt in Schweden hervorgetan. Mawson besitzt derzeit auch 51% der Southern Cross Gold Ltd (ASX: SXG), die ihrerseits drei hochgradige, historische, epizonale Goldfelder mit einer Fläche von 470 km² in Victoria, Australien, besitzt oder kontrolliert.

Über Southern Cross Gold Ltd (ASX: SXG)

[Southern Cross Gold](#) besitzt das zu 100 % im Besitz befindliche Sunday Creek Projekt in Victoria und das Mt Isa Projekt in Queensland, die Redcastle und Whroo Joint Ventures in Victoria, Australien, sowie eine strategische 10 %ige Beteiligung an der an der ASX notierten Nagambie Resources Limited (ASX: NAG), die SXG ein Vorkaufsrecht auf ein 3.300 Quadratkilometer großes Grundstückspaket im Besitz von NAG in Victoria gewährt.

Im Namen des Verwaltungsrats,

"Noora Ahola"
Noora Ahola, Interims-CEO

Weitere Informationen www.mawsongold.com

1305 - 1090 West Georgia St., Vancouver, BC, V6E 3V7
Mariana Bermudez (Kanada), Unternehmenssekretärin
+1 (604) 685 9316 info@mawsongold.com

In Europe:
Swiss Resource Capital AG
Jochen Staiger
info@resource-capital.ch
www.resource-capital.ch

Zukunftsgerichtete Aussage - Disclaimer

Diese Pressemitteilung enthält zukunftsgerichtete Aussagen oder zukunftsgerichtete Informationen im Sinne der geltenden Wertpapiergesetze (zusammenfassend als "zukunftsgerichtete Aussagen" bezeichnet). Alle hierin enthaltenen Aussagen, mit Ausnahme von Aussagen über historische Fakten, sind zukunftsgerichtete Aussagen. Obwohl Mawson der Ansicht ist, dass solche Aussagen vernünftig sind, kann das Unternehmen keine Garantie dafür geben, dass sich diese Erwartungen als richtig erweisen werden. Zukunftsgerichtete Aussagen sind in der Regel durch Wörter wie glauben, erwarten, vorhersehen, beabsichtigen, schätzen, postulieren und ähnliche Ausdrücke gekennzeichnet oder beziehen sich auf zukünftige Ereignisse. Mawson weist Investoren darauf hin, dass zukunftsgerichtete Aussagen keine Garantie für zukünftige Ergebnisse oder Leistungen sind und dass die tatsächlichen

Ergebnisse aufgrund verschiedener Faktoren erheblich von jenen in zukunftsgerichteten Aussagen abweichen können, einschließlich der Erwartungen von Mawson hinsichtlich seiner Beteiligung an Southern Cross Gold, Kapital- und andere Kosten, die erheblich von den Schätzungen abweichen, Veränderungen auf den Weltmetallmärkten, Veränderungen auf den Aktienmärkten, die potenziellen Auswirkungen von Epidemien, Pandemien oder anderen Krisen im Bereich der öffentlichen Gesundheit, einschließlich COVID-19, auf das Geschäft des Unternehmens, Risiken in Verbindung mit negativer Publicity in Bezug auf das Unternehmen oder die Bergbauindustrie im Allgemeinen; das Explorationspotenzial ist konzeptioneller Natur, die Exploration reicht nicht aus, um eine Mineralressource auf den australischen Projekten im Besitz von SXG zu definieren, und es ist ungewiss, ob weitere Explorationen zur Bestimmung einer Mineralressource führen werden; geplante Bohrprogramme und Ergebnisse, die von den Erwartungen abweichen, Verzögerungen beim Erhalt von Ergebnissen, Ausrüstungsausfälle, unerwartete geologische Bedingungen, die Beziehungen zu den lokalen Gemeinden, der Umgang mit Nichtregierungsorganisationen, Verzögerungen bei der Erteilung von Genehmigungen, Umwelt- und Sicherheitsrisiken sowie andere Risiken und Ungewissheiten, die unter der Überschrift "Risikofaktoren" in Mawsons jüngstem Jahresbericht auf [SEDAR](#) veröffentlicht wurden. Jede zukunftsgerichtete Aussage bezieht sich nur auf das Datum, an dem sie getätigt wird, und Mawson lehnt jede Absicht oder Verpflichtung ab, zukunftsgerichtete Aussagen zu aktualisieren, sei es aufgrund neuer Informationen, zukünftiger Ereignisse oder Ergebnisse oder aus anderen Gründen.

Foto 2: SDDSC082 aus 592 m (innerhalb des untersuchten Abschnitts 0,9 m @ 351,3 g/t AuEq (351,2 g/t Au, 0,0 % Sb) von 591,4 m bis 592,3 m (Tabelle 3)) zeigt einen ungeschnittenen Kern mit einer massiven Quarz-Karbonat-Ader mit sichtbarem Gold. Millimeterskala.

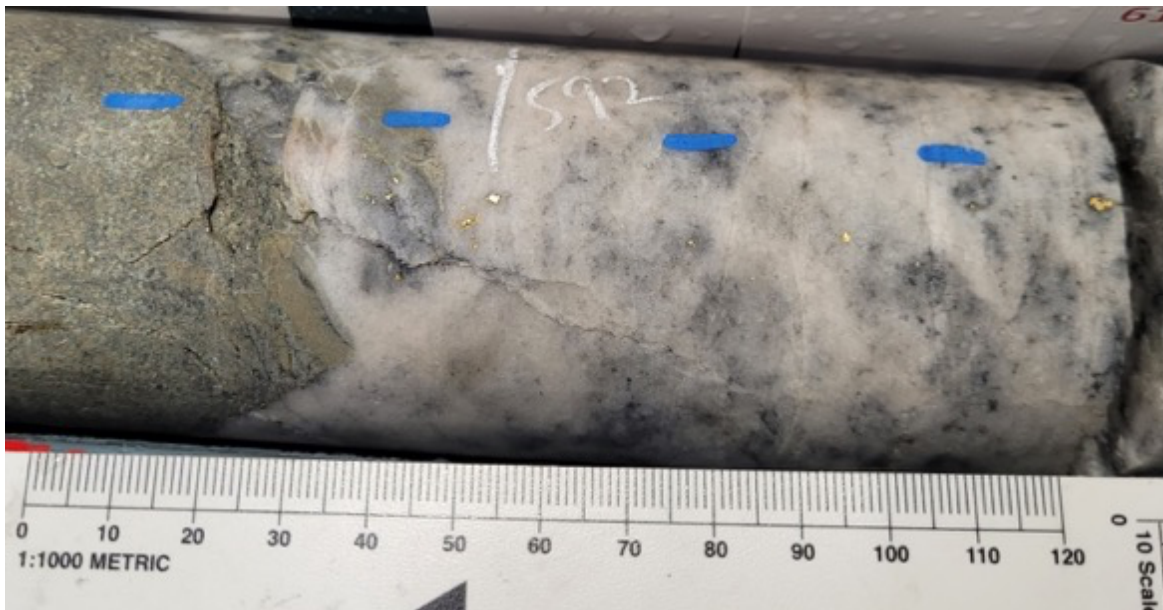


Foto 3: SDDSC082 aus 744 m (innerhalb des untersuchten Intervalls 0,7 m @ 88,9 g/t AuEq (78,2 g/t Au, 6,8 % Sb) von 744,0 m bis 744,6 m (Tabelle 3)) zeigt einen Schnittkern mit brekziösem dioritischem Gang, mit Stibnit und Quarz-Karbonat-Adern mit feinem, häufig sichtbarem Gold im Stibnit. Man beachte den lindgrünen Fuchsit im umgewandelten Dyke. Maßstab von oben nach unten: 40 mm.

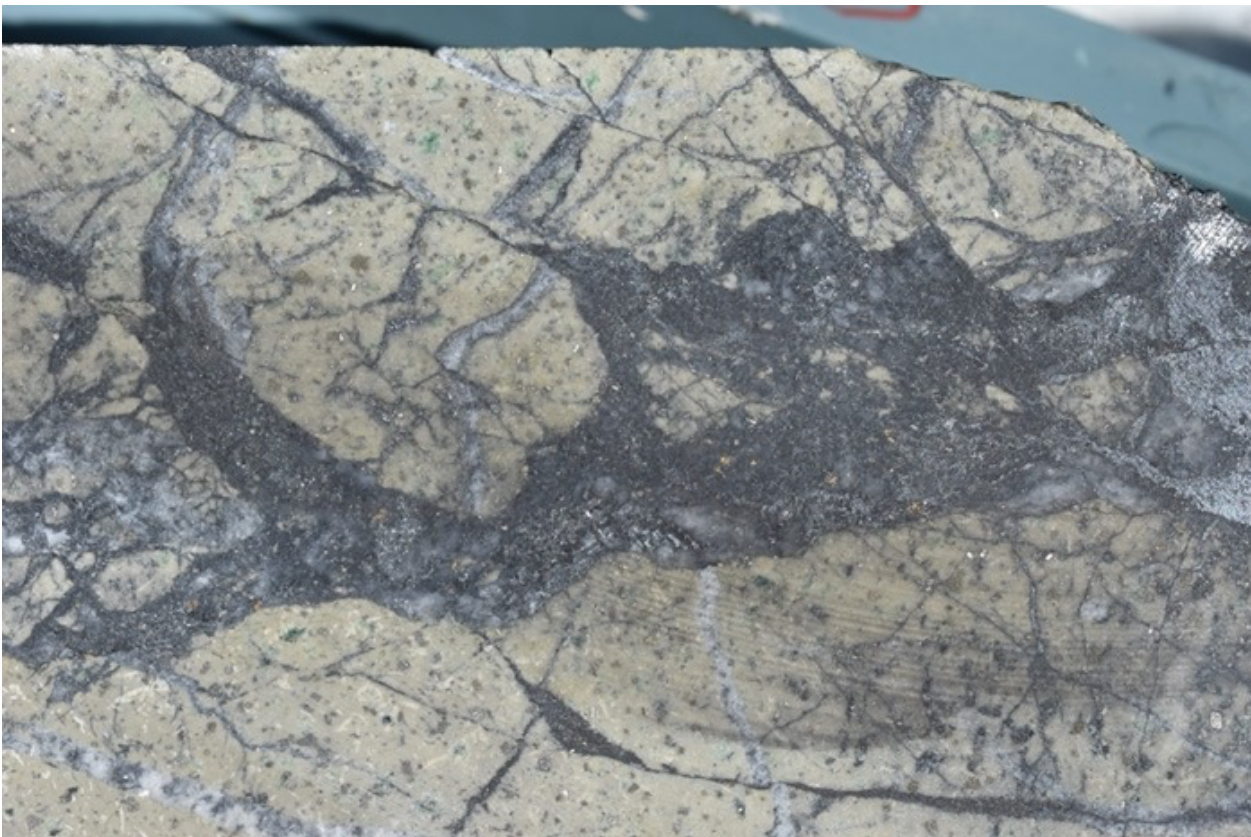


Abbildung 1: Grundriss von Sunday Creek mit dem hier gemeldeten Bohrloch SDDSC082 (roter Kasten), ausgewählten früher gemeldeten Bohrlöchern und noch nicht abgeschlossenen Bohrungen. Für den Standort siehe Abbildung 5.

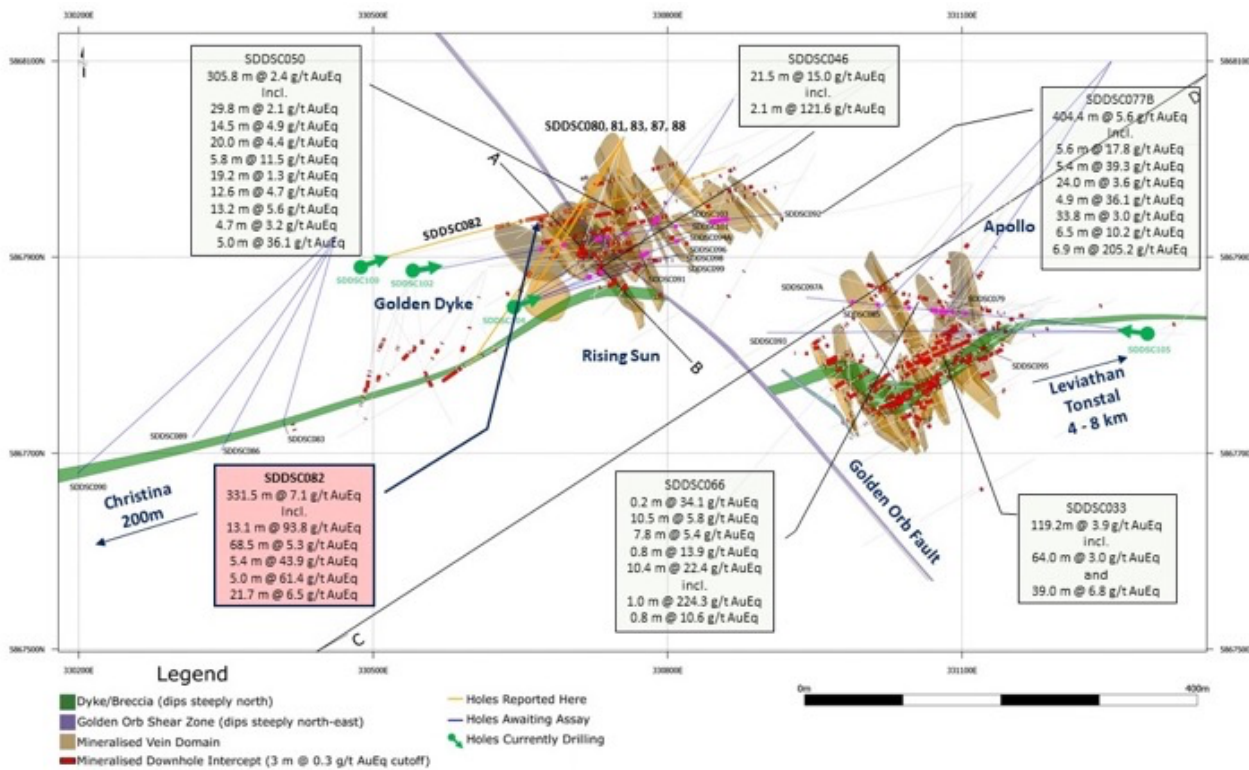


Abbildung 2: Sunday Creek-Längsschnitt durch C-D, die Ebene der Dyke-Brekzie/alteriertes Sediment (siehe Abbildung 1), mit Blick in Richtung Norden (Streichung 327 Grad) mit mineralisierten Adersätzen. SDDSC082 wird hier gemeldet, wobei eingeschränkte sichtbare Goldabschnitte und früher gemeldete Bohrlöcher gezeigt werden.

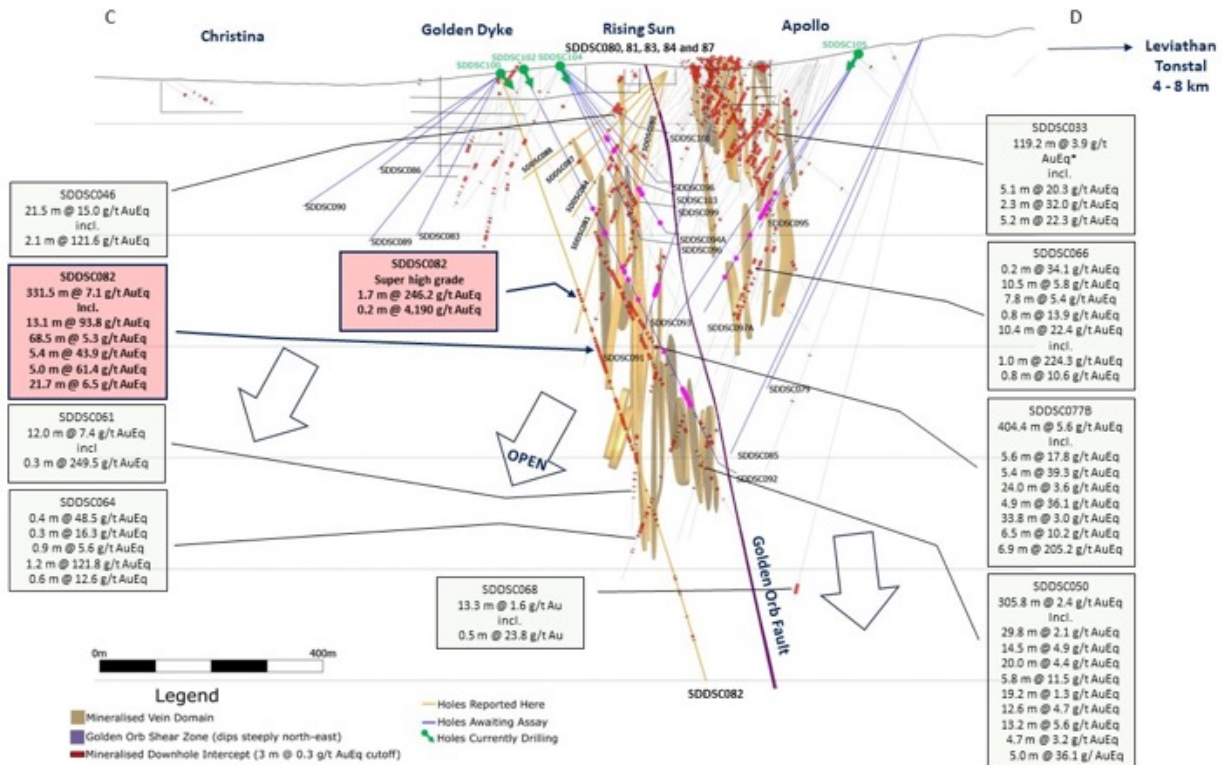


Abbildung 3: Sunday Creek Querschnitt A-B (25 m Einfluss) (siehe Abbildung 1) durch eine Ader im Gebiet Rising Sun mit Blick in Richtung 330, der die Kontinuität von der Oberfläche bis in 550 m Tiefe SDDSC082 und die zuvor gemeldeten Bohrlöcher zeigt. Beachten Sie, dass SDDSC077B und SDDSC082 180 m in der Ebene dieser Ader liegen.

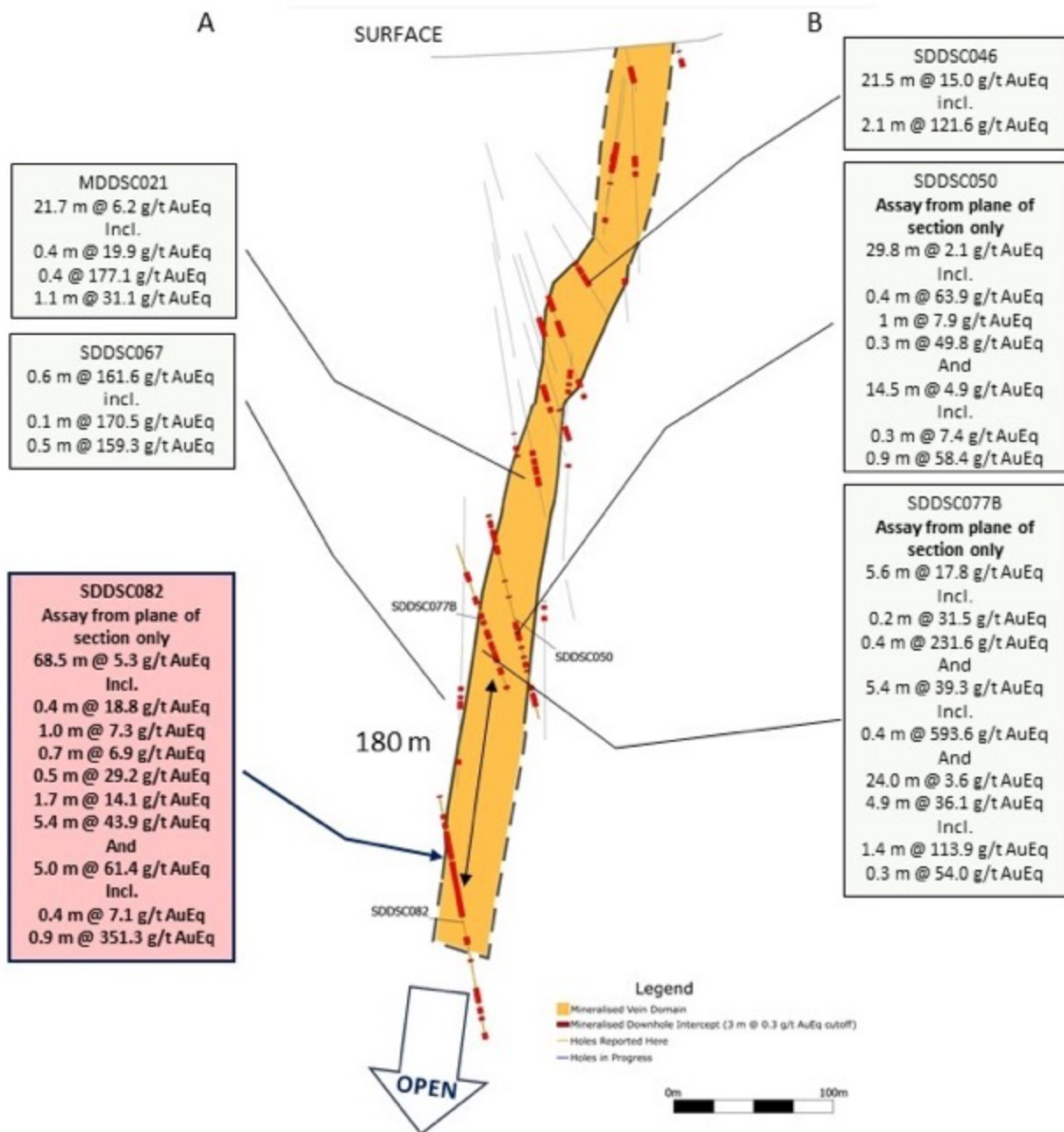


Abbildung 4: Regionale Draufsicht auf Sunday Creek mit LiDAR, Bodenproben, strukturellem Rahmen, regionalen historischen epizonalen Goldabbaugebieten und breiten regionalen Gebieten (Tonstal, Consols und Leviathan), die durch 12 Bohrungen im Rahmen des 2.383 m langen Bohrprogramms erprobt wurden. Die regionalen Bohrgebiete befinden sich bei Tonstal, Consols und Leviathan, die 4.000-7.500 m entlang des Streichens vom Hauptbohrgebiet bei Golden Dyke-Apollo entfernt liegen.

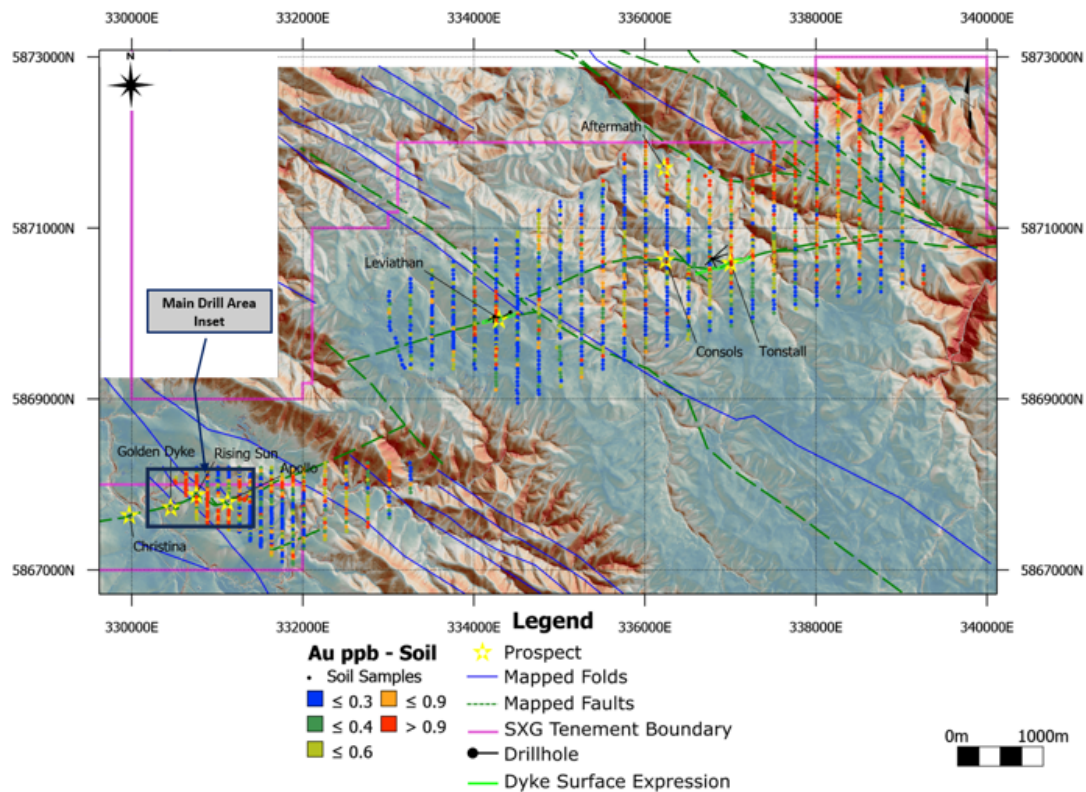


Abbildung 5: Standort des Projekts Sunday Creek, zusammen mit den anderen Projekten von SXG in Victoria und einer vereinfachten Geologie.

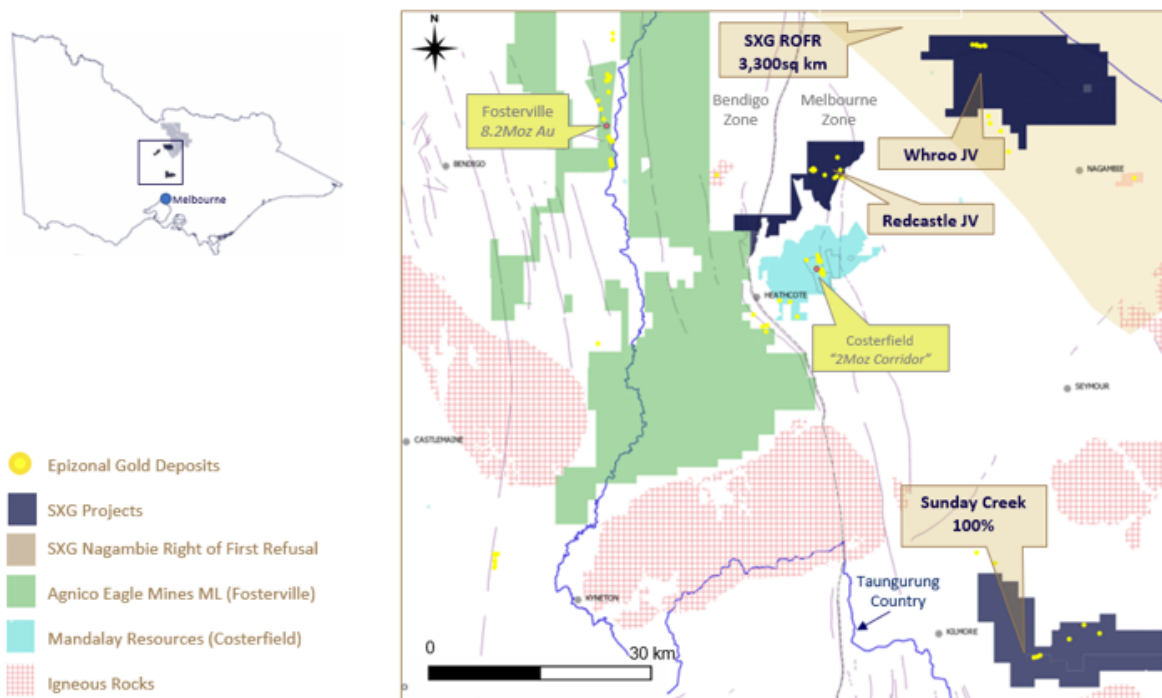


Tabelle 1: Zusammenfassende Tabelle der Bohrkragen für die jüngsten Bohrlöcher in Arbeit.

Bohrung_ID	Tiefe (m)	Prospekt	Osten GDA94_Z55	Norden GDA94_Z55	Erhebungen	Azimet	Eintauchen
SDDSC079	700.7	Rising Sun	331254	5868098	353.7	210.0	-65.0
SDDSC080	374.6	Rising Sun	330754	5868022	294.3	185.0	-71.0
SDDSC081	338.5	Rising Sun	330754	5868022	294.3	210.0	-60.0
SDDSC082	1158.7	Rising Sun	330484	5867895	289.0	74.0	-68.0
SDDSC083	347.5	Golden Dyke	330461	5867922	285.4	196.0	-54.0
SDDSC084	323.4	Rising Sun	330754	5868022	294.3	210.0	-53.0
SDDSC085	827.4	Apollo	331254	5868099	353.8	222.0	-64.0
SDDSC086	298.8	Golden Dyke	330461	5867922	285.4	208.0	-33.0
SDDSC087	286.7	Rising Sun	330754	5868022	294.3	214.0	-43.0
SDDSC088	360.0	Rising Sun	330754	5868022	294.3	214.0	-33.0
SDDSC089	390.0	Golden Dyke	330461	5867922	285.4	214.0	-48.0
SDDSC090	427.2	Christina	330461	5867922	285.4	226.0	-31.0
SDDSC091	530.4	Gentle Annie	330871	5868064	305.6	210.0	-69.0
SDDSC092	803.8	Rising Sun	330537	5867882	295.5	79.0	-60
SDDSC093	610.9	Rising Sun	331291	5867823	316.8	271	-47.5
SDDSC094	23.3	Rising Sun	330639	5867846	306.2	68.5	-56
SDDSC094A	359.6	Rising Sun	330639	5867846	306.1	68.5	-56
SDDSC095	368.3	Apollo	331291	5867823	316.8	271	-53
SDDSC096	347.9	Rising Sun	330639	5867846	306.1	68	-63.5
SDDSC097	62.3	Apollo	331291	5867823	316.8	276	-50.5
SDDSC097A	575	Apollo	331291	5867823	316.8	277	-50
SDDSC098	278.5	Rising Sun	330639	5867846	306.1	72	-48.5
SDDSC099	284.7	Rising Sun	330639	5867846	306.1	71.5	-58.5
SDDSC100	In Arbeit befindlicher Plan 1200 m	Rising Sun	330482	5867891	289.5	74.5	-64
SDDSC101	181.5	Rising Sun	330639	5867846	306.1	63	-37
SDDSC102	In Arbeit befindlicher Plan 760 m	Rising Sun	330537	5867883	295.5	75	-59
SDDSC103	260.6	Rising Sun	330639	5867847	306.1	53	-53
SDDSC104	In Arbeit befindlicher Plan 740 m	Rising Sun	330639	5867847	306.1	64.5	-65.7
SDDSC105	In Arbeit befindlicher Plan 700 m	Apollo	331291.1	5867823	316.8	275.3	-55.2

Tabelle 2: Tabellen der mineralisierten Bohrlochabschnitte aus SDDSC080, 81, 82, 83, 84 und 87 unter Anwendung von zwei Cutoff-Kriterien. Niedrigere Gehalte werden mit einem Cutoff-Gehalt von 0,3 g/t über maximal 3 m und höhere Gehalte mit einem Cutoff-Gehalt von 5,0 g/t AuEq über maximal 1 m geschnitten.

Loch-ID	Von	Bis	Länge	Au g/t	Sb%	AuEq g/t
SDDSC080	305.00	308.00	3.0	11.0	0.4	11.7
SDDSC080	318.00	318.90	0.9	4.9	0.5	5.7
SDDSC081	288.99	297.05	8.1	5.2	1.4	7.5
einschließlich	288.99	289.65	0.7	52.3	14.5	75.2
einschließlich	294.70	294.85	0.2	14.6	10.3	30.9
SDDSC082	413.63	426.70	13.1	91.7	1.3	93.8
einschließlich	413.63	415.35	1.7	230.6	9.9	246.2
einschließlich	418.00	418.57	0.6	1403.3	0.1	1403.4
SDDSC082	471.70	472.00	0.3	10.9	0.0	11.0
SDDSC082	480.60	481.55	0.9	42.3	0.4	42.9
SDDSC082	494.25	494.75	0.5	6.2	0.0	6.2
SDDSC082	506.25	574.70	68.5	4.8	0.4	5.3
einschließlich	515.20	515.65	0.4	18.7	0.1	18.8
einschließlich	522.00	523.00	1.0	5.3	1.3	7.3
einschließlich	532.50	533.20	0.7	5.2	1.1	6.9
einschließlich	539.20	539.70	0.5	28.2	0.6	29.2
einschließlich	544.50	546.20	1.7	12.3	1.2	14.1
einschließlich	567.30	572.70	5.4	41.9	1.3	43.9
SDDSC082	588.00	593.00	5.0	60.9	0.4	61.4
einschließlich	589.00	589.40	0.4	1.8	3.4	7.1
einschließlich	591.40	592.25	0.9	351.2	0.0	351.3
SDDSC082	622.00	643.70	21.7	6.5	0.0	6.5
einschließlich	641.15	641.70	0.6	12.2	0.0	12.2
einschließlich	643.35	643.70	0.4	351.0	0.0	351.0
SDDSC082	652.00	683.10	31.1	3.1	0.5	3.9
einschließlich	654.00	655.00	1.0	11.7	0.0	11.7
einschließlich	658.90	660.50	1.6	39.3	5.9	48.6
einschließlich	672.80	673.90	1.1	7.8	5.6	16.6
SDDSC082	691.00	708.00	17.0	1.4	0.0	1.5
einschließlich	697.00	698.00	1.0	16.3	0.1	16.5
SDDSC082	712.10	722.00	9.9	1.0	0.1	1.1
einschließlich	712.10	712.30	0.2	34.7	0.1	34.8
SDDSC082	738.00	747.50	9.5	8.1	1.1	9.8
einschließlich	742.80	745.10	2.3	32.9	4.2	39.5
SDDSC082	842.00	846.00	4.0	4.8	0.2	5.1
einschließlich	842.00	843.00	1.0	18.3	0.7	19.4
SDDSC082	852.63	856.21	3.6	5.4	0.0	5.4
einschließlich	854.22	854.60	0.4	49.6	0.0	49.6
SDDSC082	995.40	996.40	1.0	5.9	0.0	5.9

einschließlich	995.40	995.70	0.3	18.4	0.0	18.4
SDDSC082	1037.60	1037.70	0.1	24.3	0.0	24.3
SDDSC082	1064.45	1065.04	0.6	16.4	2.3	20.0
SDDSC084	245.75	248.03	2.3	3.3	0.0	3.3
einschließlich	246.45	246.85	0.4	15.1	0.0	15.1
SDDSC087	222.91	223.66	0.8	12.8	0.0	12.8
SDDSC087	230.28	236.00	5.7	1.2	0.0	1.3
einschließlich	230.28	230.67	0.4	9.5	0.5	10.2

Tabelle 3: Alle hier gemeldeten Einzelergebnisse von SDDSC080, 81, 82, 83, 84 und 87 >0,1g/t AuEq.

Loch-ID	Von (m)	Bis (m)	Länge (m)	Au g/t	Sb%	AuEq g/t
SDDSC080	97.1	98.4	1.3	0.1	0.0	0.1
SDDSC080	98.4	99.6	1.2	0.1	0.0	0.1
SDDSC080	281.0	282.0	1.0	0.1	0.0	0.1
SDDSC080	299.0	300.0	1.0	0.1	0.0	0.1
SDDSC080	300.0	301.0	1.0	1.0	0.0	1.1
SDDSC080	301.0	301.6	0.6	0.2	0.0	0.2
SDDSC080	301.6	302.6	1.0	1.0	0.0	1.0
SDDSC080	302.6	303.2	0.6	2.1	0.0	2.1
SDDSC080	304.1	305.0	0.9	4.2	0.3	4.6
SDDSC080	305.0	306.0	1.0	11.2	0.1	11.3
SDDSC080	306.0	307.0	1.0	12.2	0.5	13.0
SDDSC080	307.0	308.0	1.0	9.6	0.7	10.6
SDDSC080	308.0	309.0	1.0	0.1	0.0	0.1
SDDSC080	312.9	314.0	1.1	0.1	0.0	0.1
SDDSC080	314.0	315.0	1.0	0.1	0.0	0.1
SDDSC080	315.0	315.5	0.5	0.5	0.5	1.2
SDDSC080	315.5	316.4	0.9	2.1	0.4	2.7
SDDSC080	316.4	317.0	0.6	0.4	0.1	0.5
SDDSC080	317.0	318.0	1.0	2.8	1.0	4.4
SDDSC080	318.0	318.9	0.9	4.9	0.5	5.7
SDDSC080	318.9	320.0	1.1	0.1	0.0	0.1
SDDSC080	320.0	321.0	1.0	0.0	0.0	0.1
SDDSC080	321.0	322.2	1.2	0.0	0.0	0.1
SDDSC080	334.0	334.9	0.9	0.1	0.0	0.1
SDDSC080	334.9	336.0	1.1	0.4	0.0	0.5
SDDSC081	273.0	274.0	1.0	1.5	0.0	1.5
SDDSC081	275.3	275.8	0.5	0.2	0.0	0.2
SDDSC081	280.0	281.0	1.0	0.1	0.0	0.1
SDDSC081	282.5	282.7	0.3	0.4	0.0	0.4

SDDSC081	282.7	283.4	0.7	0.3	0.0	0.3
SDDSC081	283.4	283.9	0.5	0.5	2.6	4.6
SDDSC081	283.9	284.6	0.8	0.7	0.0	0.7
SDDSC081	284.6	285.6	1.0	0.4	0.2	0.6
SDDSC081	287.2	288.0	0.9	0.1	0.0	0.1
SDDSC081	288.4	289.0	0.6	0.1	0.0	0.2
SDDSC081	289.0	289.7	0.7	52.3	14.5	75.2
SDDSC081	289.7	290.5	0.8	0.2	0.0	0.2
SDDSC081	290.5	291.0	0.6	0.5	0.0	0.5
SDDSC081	291.0	292.0	1.0	0.3	0.0	0.4
SDDSC081	292.0	292.9	0.9	0.1	0.0	0.1
SDDSC081	292.9	293.5	0.6	0.5	0.1	0.6
SDDSC081	293.5	294.3	0.8	3.5	0.2	3.8
SDDSC081	294.3	294.7	0.5	0.2	0.0	0.2
SDDSC081	294.7	294.9	0.2	14.6	10.3	30.9
SDDSC081	294.9	295.6	0.7	0.1	0.0	0.1
SDDSC081	295.6	295.9	0.4	1.1	0.1	1.3
SDDSC081	295.9	296.5	0.6	0.7	0.1	0.8
SDDSC081	296.5	297.1	0.6	0.8	0.1	0.8
SDDSC081	297.1	298.0	0.9	0.1	0.0	0.1
SDDSC081	302.0	302.9	0.9	0.4	0.0	0.4
SDDSC081	305.0	306.0	1.0	0.4	0.0	0.4
SDDSC082	413.6	414.3	0.7	11.7	0.1	11.8
SDDSC082	414.3	414.4	0.2	1.8	0.8	3.1
SDDSC082	414.4	415.0	0.6	394.0	24.3	432.4
SDDSC082	415.0	415.4	0.3	485.0	8.3	498.2
SDDSC082	417.4	417.7	0.3	0.3	0.6	1.2
SDDSC082	418.0	418.4	0.4	9.9	0.0	10.0
SDDSC082	418.4	418.6	0.2	4190.0	0.1	4190.2
SDDSC082	418.6	419.0	0.4	1.0	0.0	1.0
SDDSC082	421.0	422.0	1.0	0.0	0.0	0.1
SDDSC082	422.0	423.0	1.0	0.3	0.0	0.3
SDDSC082	423.0	423.4	0.4	0.2	0.0	0.3
SDDSC082	423.4	423.8	0.4	0.5	0.0	0.5
SDDSC082	423.8	424.2	0.5	1.7	0.0	1.7
SDDSC082	424.2	424.8	0.5	0.5	0.0	0.5
SDDSC082	424.8	425.0	0.3	0.3	0.0	0.3
SDDSC082	426.0	426.5	0.5	0.2	0.0	0.2
SDDSC082	426.5	426.7	0.2	0.3	0.2	0.6
SDDSC082	426.7	427.6	0.9	0.1	0.0	0.1

SDDSC082	427.6	428.1	0.5	0.0	0.0	0.1
SDDSC082	430.0	430.7	0.7	0.3	0.0	0.3
SDDSC082	430.7	431.2	0.5	0.3	0.2	0.5
SDDSC082	431.2	431.7	0.5	0.3	0.0	0.3
SDDSC082	431.7	432.5	0.8	0.3	0.0	0.3
SDDSC082	432.5	433.5	1.0	0.3	0.1	0.4
SDDSC082	433.5	434.5	1.0	0.2	0.0	0.2
SDDSC082	434.5	435.4	0.9	0.1	0.0	0.1
SDDSC082	435.9	436.1	0.3	2.0	0.0	2.0
SDDSC082	438.0	438.8	0.8	1.1	0.0	1.1
SDDSC082	439.6	440.0	0.5	0.3	0.0	0.3
SDDSC082	440.0	441.0	1.0	0.1	0.0	0.1
SDDSC082	443.0	444.0	1.0	0.1	0.0	0.2
SDDSC082	444.0	445.0	1.0	0.2	0.0	0.2
SDDSC082	446.0	447.0	1.0	0.5	0.0	0.5
SDDSC082	448.0	449.0	1.0	0.1	0.0	0.1
SDDSC082	449.0	450.0	1.0	0.2	0.0	0.2
SDDSC082	450.5	450.8	0.3	0.1	0.0	0.1
SDDSC082	450.8	451.1	0.3	0.1	0.0	0.1
SDDSC082	451.1	452.0	0.9	0.3	0.0	0.3
SDDSC082	452.0	453.0	1.0	0.2	0.1	0.3
SDDSC082	453.0	454.0	1.0	0.5	0.1	0.5
SDDSC082	454.0	455.0	1.0	0.1	0.0	0.1
SDDSC082	455.0	456.0	1.0	0.3	0.1	0.5
SDDSC082	456.0	457.0	1.0	0.1	0.0	0.2
SDDSC082	457.0	458.0	1.0	0.1	0.0	0.1
SDDSC082	461.0	461.8	0.8	0.1	0.0	0.1
SDDSC082	461.8	462.7	1.0	0.2	0.0	0.2
SDDSC082	464.7	465.3	0.6	0.0	0.0	0.1
SDDSC082	465.3	466.0	0.8	0.0	0.0	0.1
SDDSC082	466.0	466.9	0.9	0.3	0.0	0.3
SDDSC082	466.9	467.7	0.8	0.1	0.0	0.1
SDDSC082	471.7	472.0	0.3	10.9	0.0	11.0
SDDSC082	473.0	474.0	1.0	0.1	0.0	0.1
SDDSC082	475.0	476.0	1.0	0.1	0.0	0.1
SDDSC082	480.6	480.9	0.3	33.1	0.0	33.1
SDDSC082	480.9	481.3	0.4	20.5	0.0	20.5
SDDSC082	481.3	481.6	0.3	76.9	1.1	78.6
SDDSC082	482.8	483.5	0.7	0.2	0.0	0.2
SDDSC082	483.5	484.2	0.7	0.1	0.0	0.1

SDDSC082	486.0	486.8	0.8	0.0	0.0	0.1
SDDSC082	486.8	487.9	1.1	0.9	0.0	1.0
SDDSC082	487.9	488.4	0.5	1.4	0.3	1.8
SDDSC082	489.0	490.0	1.0	0.3	0.0	0.3
SDDSC082	490.0	491.0	1.0	0.7	0.0	0.7
SDDSC082	491.0	492.0	1.0	0.1	0.0	0.1
SDDSC082	492.0	493.0	1.0	0.2	0.0	0.2
SDDSC082	493.0	493.3	0.3	0.2	0.0	0.2
SDDSC082	493.3	493.7	0.4	1.8	0.0	1.8
SDDSC082	493.7	494.3	0.6	0.3	0.0	0.3
SDDSC082	494.3	494.8	0.5	6.2	0.0	6.2
SDDSC082	502.0	502.4	0.4	2.1	0.0	2.2
SDDSC082	504.3	505.3	1.0	0.2	0.0	0.2
SDDSC082	505.3	506.3	1.0	0.1	0.0	0.2
SDDSC082	506.3	507.1	0.9	1.0	0.0	1.1
SDDSC082	509.0	509.3	0.3	0.5	0.0	0.5
SDDSC082	509.3	509.7	0.4	0.2	0.0	0.2
SDDSC082	511.5	511.8	0.3	0.0	0.4	0.6
SDDSC082	511.8	512.7	0.9	0.3	0.0	0.3
SDDSC082	512.7	513.4	0.7	0.2	0.0	0.2
SDDSC082	514.2	515.2	1.0	0.2	0.0	0.2
SDDSC082	515.2	515.7	0.5	18.7	0.1	18.8
SDDSC082	515.7	516.8	1.2	0.1	0.0	0.1
SDDSC082	516.8	517.8	1.0	0.1	0.0	0.2
SDDSC082	517.8	518.7	0.9	1.2	0.4	1.9
SDDSC082	518.7	519.7	1.0	0.6	0.1	0.8
SDDSC082	519.7	520.9	1.2	1.0	0.4	1.7
SDDSC082	520.9	522.0	1.1	0.9	0.1	1.1
SDDSC082	522.0	523.0	1.0	5.3	1.3	7.3
SDDSC082	523.0	524.0	1.0	2.2	0.2	2.5
SDDSC082	524.0	525.0	1.0	2.1	0.2	2.3
SDDSC082	525.0	526.0	1.0	0.8	0.3	1.2
SDDSC082	526.0	527.0	1.0	1.1	0.1	1.3
SDDSC082	527.0	528.0	1.0	1.2	0.1	1.4
SDDSC082	528.0	529.0	1.0	0.5	0.1	0.6
SDDSC082	530.0	531.0	1.0	0.5	0.0	0.5
SDDSC082	531.0	532.0	1.0	0.7	0.0	0.8
SDDSC082	532.0	532.5	0.5	1.2	0.3	1.7
SDDSC082	532.5	533.2	0.7	5.2	1.1	6.9
SDDSC082	533.2	533.8	0.6	2.9	0.0	2.9

SDDSC082	533.8	534.6	0.8	0.4	0.0	0.4
SDDSC082	534.6	535.3	0.7	0.2	0.0	0.3
SDDSC082	535.3	536.2	0.9	0.6	0.1	0.7
SDDSC082	536.2	537.0	0.8	0.2	0.0	0.3
SDDSC082	537.0	537.8	0.8	0.2	0.0	0.3
SDDSC082	537.8	538.2	0.4	4.0	0.0	4.0
SDDSC082	538.2	539.2	1.0	0.3	0.0	0.3
SDDSC082	539.2	539.7	0.5	28.2	0.6	29.2
SDDSC082	539.7	540.5	0.8	1.9	0.3	2.4
SDDSC082	540.5	541.5	1.0	0.3	0.0	0.4
SDDSC082	541.5	542.5	1.0	0.4	0.3	0.9
SDDSC082	542.5	543.2	0.7	1.8	0.0	1.9
SDDSC082	543.2	544.0	0.8	0.4	0.1	0.5
SDDSC082	544.0	544.5	0.5	1.8	0.0	1.8
SDDSC082	544.5	545.0	0.5	6.0	0.4	6.6
SDDSC082	545.0	545.4	0.4	8.3	1.4	10.4
SDDSC082	545.4	546.2	0.8	18.2	1.5	20.6
SDDSC082	546.2	547.0	0.8	1.5	0.4	2.2
SDDSC082	547.0	548.0	1.0	0.4	0.3	0.9
SDDSC082	548.0	549.0	1.0	0.4	0.7	1.5
SDDSC082	549.0	550.0	1.0	0.2	0.1	0.3
SDDSC082	550.0	551.0	1.0	0.4	0.6	1.3
SDDSC082	551.0	552.0	1.0	0.3	0.0	0.4
SDDSC082	552.0	553.0	1.0	0.3	0.4	1.0
SDDSC082	553.0	554.0	1.0	3.1	0.8	4.3
SDDSC082	554.0	555.0	1.0	1.7	1.3	3.8
SDDSC082	555.0	556.0	1.0	0.9	0.5	1.7
SDDSC082	556.0	557.0	1.0	1.2	0.3	1.7
SDDSC082	557.0	558.0	1.0	0.7	0.3	1.2
SDDSC082	558.0	559.0	1.0	1.4	0.0	1.5
SDDSC082	559.0	560.0	1.0	1.5	0.1	1.6
SDDSC082	560.0	561.0	1.0	0.4	0.1	0.5
SDDSC082	561.0	561.7	0.7	0.3	0.0	0.4
SDDSC082	561.7	562.2	0.5	4.2	0.4	4.9
SDDSC082	562.2	563.1	0.9	1.9	1.2	3.8
SDDSC082	563.1	564.0	0.9	0.2	0.3	0.7
SDDSC082	564.0	565.0	1.0	0.1	0.0	0.2
SDDSC082	565.0	565.8	0.8	0.7	0.1	0.7
SDDSC082	565.8	566.5	0.8	2.8	0.8	4.1
SDDSC082	566.5	567.3	0.8	1.6	0.5	2.3

SDDSC082	567.3	567.9	0.6	129.0	0.7	130.0
SDDSC082	567.9	568.9	1.0	10.7	0.1	10.8
SDDSC082	568.9	569.4	0.5	0.6	0.1	0.7
SDDSC082	569.4	569.6	0.3	466.0	0.4	466.6
SDDSC082	569.6	570.4	0.8	1.5	0.6	2.5
SDDSC082	570.4	571.3	0.9	15.0	1.4	17.2
SDDSC082	571.3	572.0	0.8	6.1	1.2	8.0
SDDSC082	572.0	572.7	0.7	3.4	5.3	11.8
SDDSC082	572.7	573.7	1.0	0.8	0.8	2.1
SDDSC082	573.7	574.7	1.0	0.6	0.4	1.2
SDDSC082	574.7	575.5	0.8	0.2	0.0	0.2
SDDSC082	580.8	581.9	1.1	0.2	0.0	0.2
SDDSC082	588.0	589.0	1.0	4.0	0.0	4.1
SDDSC082	589.0	589.4	0.4	1.8	3.4	7.1
SDDSC082	589.4	590.4	1.0	0.2	0.0	0.2
SDDSC082	590.4	591.4	1.0	0.5	0.4	1.2
SDDSC082	591.4	591.9	0.5	40.6	0.0	40.7
SDDSC082	591.9	592.3	0.4	795.0	0.1	795.1
SDDSC082	592.3	593.0	0.8	0.4	0.0	0.4
SDDSC082	594.0	594.7	0.7	0.1	0.0	0.1
SDDSC082	594.7	595.7	1.0	0.1	0.0	0.1
SDDSC082	595.7	596.8	1.1	0.1	0.0	0.1
SDDSC082	603.0	604.0	1.0	0.3	0.0	0.3
SDDSC082	604.0	604.6	0.6	0.8	0.0	0.8
SDDSC082	605.6	606.7	1.1	0.2	0.0	0.2
SDDSC082	608.1	609.0	0.9	0.3	0.0	0.3
SDDSC082	609.0	610.0	1.0	0.2	0.0	0.2
SDDSC082	612.0	613.0	1.0	0.2	0.0	0.2
SDDSC082	615.0	616.0	1.0	0.1	0.0	0.1
SDDSC082	619.1	620.1	1.0	0.1	0.0	0.1
SDDSC082	621.0	622.0	1.0	0.2	0.0	0.2
SDDSC082	622.0	623.0	1.0	0.4	0.0	0.4
SDDSC082	623.0	624.0	1.0	0.8	0.0	0.8
SDDSC082	624.0	625.0	1.0	0.7	0.1	0.8
SDDSC082	625.0	626.0	1.0	0.2	0.0	0.2
SDDSC082	626.0	627.0	1.0	0.5	0.1	0.6
SDDSC082	627.0	628.0	1.0	0.9	0.0	0.9
SDDSC082	628.0	629.0	1.0	0.8	0.0	0.8
SDDSC082	629.0	630.0	1.0	3.5	0.0	3.5
SDDSC082	630.0	631.0	1.0	0.2	0.0	0.2

SDDSC082	631.0	632.0	1.0	0.5	0.0	0.5
SDDSC082	632.0	633.0	1.0	0.1	0.0	0.1
SDDSC082	633.0	634.0	1.0	0.2	0.0	0.2
SDDSC082	634.0	635.0	1.0	0.1	0.0	0.2
SDDSC082	635.0	636.0	1.0	0.3	0.1	0.5
SDDSC082	636.0	637.0	1.0	0.3	0.1	0.5
SDDSC082	638.0	639.1	1.1	1.0	0.2	1.3
SDDSC082	640.1	641.2	1.1	0.2	0.0	0.2
SDDSC082	641.2	641.7	0.6	12.2	0.0	12.2
SDDSC082	641.7	642.5	0.8	0.2	0.0	0.2
SDDSC082	642.5	643.4	0.9	0.1	0.0	0.1
SDDSC082	643.4	643.7	0.4	351.0	0.0	351.0
SDDSC082	643.7	644.8	1.1	0.1	0.0	0.1
SDDSC082	650.0	651.0	1.0	0.2	0.0	0.2
SDDSC082	651.0	652.0	1.0	0.2	0.0	0.2
SDDSC082	652.0	653.0	1.0	0.3	0.0	0.3
SDDSC082	653.0	654.0	1.0	0.4	0.0	0.4
SDDSC082	654.0	655.0	1.0	11.7	0.0	11.7
SDDSC082	655.0	656.0	1.0	0.8	0.0	0.9
SDDSC082	657.0	658.0	1.0	0.2	0.0	0.2
SDDSC082	658.0	658.9	0.9	0.3	0.0	0.4
SDDSC082	658.9	659.6	0.7	55.1	10.1	71.1
SDDSC082	659.6	660.5	0.9	27.0	2.6	31.1
SDDSC082	660.5	661.5	1.0	0.3	0.0	0.4
SDDSC082	661.5	662.5	1.0	0.8	0.0	0.8
SDDSC082	662.5	663.6	1.1	0.6	0.1	0.8
SDDSC082	663.6	664.6	1.1	0.4	0.0	0.4
SDDSC082	664.6	665.2	0.6	0.8	0.3	1.3
SDDSC082	665.2	666.0	0.8	0.1	0.0	0.1
SDDSC082	666.0	667.0	1.0	0.6	0.0	0.6
SDDSC082	667.0	668.0	1.0	1.6	0.0	1.6
SDDSC082	668.0	669.0	1.0	0.6	0.0	0.6
SDDSC082	670.0	671.0	1.0	0.1	0.0	0.1
SDDSC082	671.0	672.0	1.0	0.4	0.0	0.4
SDDSC082	672.0	672.8	0.8	1.3	0.0	1.3
SDDSC082	672.8	673.1	0.3	5.2	19.5	36.0
SDDSC082	673.1	673.9	0.8	8.8	0.4	9.4
SDDSC082	673.9	675.0	1.1	0.8	0.0	0.8
SDDSC082	675.0	676.0	1.0	0.3	0.0	0.3
SDDSC082	676.0	677.0	1.0	0.1	0.0	0.1

SDDSC082	677.0	678.0	1.0	0.2	0.0	0.2
SDDSC082	678.0	679.0	1.0	0.4	0.0	0.4
SDDSC082	679.0	680.0	1.0	0.1	0.0	0.1
SDDSC082	680.0	681.0	1.0	0.4	0.0	0.5
SDDSC082	681.0	682.0	1.0	0.3	0.0	0.3
SDDSC082	682.0	683.1	1.1	0.4	0.0	0.4
SDDSC082	684.0	685.0	1.0	0.1	0.0	0.1
SDDSC082	686.0	687.0	1.0	0.1	0.0	0.1
SDDSC082	690.0	691.0	1.0	0.1	0.0	0.1
SDDSC082	691.0	692.0	1.0	0.5	0.0	0.5
SDDSC082	693.0	694.0	1.0	0.2	0.0	0.2
SDDSC082	694.0	695.0	1.0	0.2	0.0	0.2
SDDSC082	695.0	696.0	1.0	1.4	0.1	1.7
SDDSC082	696.0	697.0	1.0	1.4	0.1	1.5
SDDSC082	697.0	698.0	1.0	16.3	0.1	16.5
SDDSC082	698.0	699.0	1.0	1.4	0.1	1.5
SDDSC082	699.0	700.0	1.0	0.4	0.0	0.5
SDDSC082	700.0	701.0	1.0	0.2	0.1	0.4
SDDSC082	701.0	702.0	1.0	0.2	0.1	0.3
SDDSC082	703.0	704.0	1.0	0.7	0.0	0.7
SDDSC082	704.0	705.0	1.0	0.3	0.0	0.4
SDDSC082	705.0	706.0	1.0	0.4	0.0	0.4
SDDSC082	706.9	708.0	1.1	0.6	0.0	0.6
SDDSC082	709.0	710.0	1.0	0.1	0.0	0.2
SDDSC082	711.0	712.1	1.1	0.3	0.0	0.3
SDDSC082	712.1	712.3	0.2	34.7	0.1	34.8
SDDSC082	712.3	713.0	0.7	1.3	0.1	1.4
SDDSC082	713.0	714.0	1.0	0.3	0.0	0.3
SDDSC082	714.0	715.0	1.0	0.5	0.0	0.5
SDDSC082	715.0	716.0	1.0	0.2	0.0	0.2
SDDSC082	716.0	717.0	1.0	0.1	0.1	0.2
SDDSC082	717.0	718.0	1.0	0.1	0.0	0.2
SDDSC082	718.0	719.0	1.0	0.2	0.2	0.6
SDDSC082	720.0	721.0	1.0	0.1	0.1	0.3
SDDSC082	721.0	722.0	1.0	0.1	0.3	0.5
SDDSC082	722.0	723.3	1.3	0.1	0.0	0.1
SDDSC082	724.3	725.3	1.0	0.3	0.0	0.3
SDDSC082	727.0	728.1	1.1	0.2	0.0	0.2
SDDSC082	738.0	739.0	1.0	0.4	0.0	0.4
SDDSC082	741.0	742.0	1.0	0.1	0.0	0.1

SDDSC082	742.0	742.8	0.8	0.3	0.0	0.4
SDDSC082	742.8	743.3	0.5	7.0	2.1	10.3
SDDSC082	743.3	744.0	0.7	34.1	4.1	40.6
SDDSC082	744.0	744.6	0.6	78.2	6.8	88.9
SDDSC082	744.6	745.1	0.5	2.5	3.4	7.9
SDDSC082	745.1	746.0	0.9	0.0	0.5	0.8
SDDSC082	746.0	746.5	0.5	0.3	0.0	0.3
SDDSC082	746.5	747.5	1.0	0.2	0.1	0.4
SDDSC082	755.0	756.0	1.0	0.1	0.0	0.1
SDDSC082	759.0	759.9	0.9	0.1	0.0	0.1
SDDSC082	759.9	760.8	0.9	0.1	0.0	0.1
SDDSC082	760.8	762.0	1.2	0.2	0.0	0.2
SDDSC082	762.0	763.0	1.0	0.3	0.0	0.3
SDDSC082	764.0	765.0	1.0	0.0	0.1	0.2
SDDSC082	765.0	766.0	1.0	0.0	0.1	0.2
SDDSC082	777.0	778.0	1.0	0.2	0.0	0.2
SDDSC082	778.0	778.5	0.5	0.4	0.1	0.5
SDDSC082	791.7	792.8	1.1	0.1	0.0	0.1
SDDSC082	794.0	795.0	1.0	0.1	0.0	0.1
SDDSC082	797.0	798.0	1.0	0.1	0.0	0.1
SDDSC082	798.0	799.0	1.0	0.5	0.0	0.5
SDDSC082	799.0	800.0	1.0	0.2	0.0	0.2
SDDSC082	810.0	811.0	1.0	0.1	0.0	0.1
SDDSC082	814.0	815.0	1.0	0.1	0.0	0.1
SDDSC082	815.0	816.0	1.0	0.3	0.0	0.3
SDDSC082	819.0	820.0	1.0	0.1	0.0	0.1
SDDSC082	821.0	822.0	1.0	0.1	0.0	0.1
SDDSC082	822.0	823.0	1.0	0.1	0.0	0.1
SDDSC082	826.0	827.0	1.0	0.1	0.0	0.1
SDDSC082	830.0	831.0	1.0	0.2	0.0	0.2
SDDSC082	831.0	832.0	1.0	0.1	0.0	0.1
SDDSC082	832.0	833.0	1.0	0.1	0.0	0.1
SDDSC082	836.0	837.0	1.0	0.5	0.0	0.5
SDDSC082	841.0	842.0	1.0	0.2	0.0	0.2
SDDSC082	842.0	843.0	1.0	18.3	0.7	19.4
SDDSC082	844.0	845.0	1.0	0.5	0.1	0.6
SDDSC082	845.0	846.0	1.0	0.4	0.0	0.4
SDDSC082	848.3	848.8	0.5	0.2	0.0	0.2
SDDSC082	849.1	849.2	0.2	0.2	0.0	0.2
SDDSC082	852.2	852.6	0.4	0.2	0.0	0.2

SDDSC082	852.6	852.8	0.2	0.6	0.0	0.6
SDDSC082	852.8	853.2	0.4	0.4	0.0	0.5
SDDSC082	854.2	854.6	0.4	49.6	0.0	49.6
SDDSC082	855.4	855.9	0.6	0.3	0.0	0.3
SDDSC082	855.9	856.2	0.3	0.4	0.0	0.5
SDDSC082	856.4	856.7	0.3	0.2	0.0	0.2
SDDSC082	856.7	857.2	0.5	0.2	0.0	0.2
SDDSC082	857.2	857.7	0.5	0.1	0.0	0.1
SDDSC082	857.7	857.9	0.2	0.4	0.0	0.4
SDDSC082	858.4	858.7	0.3	0.2	0.0	0.2
SDDSC082	858.7	858.9	0.2	0.1	0.0	0.1
SDDSC082	859.9	860.2	0.3	0.2	0.0	0.2
SDDSC082	863.4	864.4	1.0	0.2	0.0	0.2
SDDSC082	864.4	864.8	0.4	1.1	0.0	1.1
SDDSC082	864.8	865.6	0.8	0.3	0.0	0.3
SDDSC082	866.7	867.1	0.4	0.1	0.0	0.1
SDDSC082	867.6	867.9	0.3	0.2	0.0	0.2
SDDSC082	867.9	868.8	0.9	0.1	0.0	0.1
SDDSC082	872.0	872.9	0.9	0.1	0.0	0.1
SDDSC082	960.1	961.1	1.0	0.1	0.0	0.1
SDDSC082	961.1	961.5	0.4	0.3	0.0	0.3
SDDSC082	961.5	962.0	0.5	0.1	0.0	0.1
SDDSC082	962.0	962.4	0.4	1.2	0.0	1.2
SDDSC082	963.2	964.2	1.0	0.2	0.0	0.2
SDDSC082	964.8	965.6	0.8	0.1	0.0	0.1
SDDSC082	965.6	966.1	0.5	1.1	0.0	1.1
SDDSC082	966.1	966.9	0.8	0.3	0.0	0.3
SDDSC082	966.9	967.8	0.9	1.1	0.0	1.1
SDDSC082	967.8	968.2	0.4	0.5	0.0	0.5
SDDSC082	968.2	969.0	0.8	0.1	0.0	0.1
SDDSC082	969.0	970.0	1.0	0.1	0.0	0.1
SDDSC082	973.3	973.8	0.6	0.1	0.0	0.1
SDDSC082	973.8	974.8	1.0	0.2	0.0	0.2
SDDSC082	974.8	975.8	1.0	0.1	0.0	0.1
SDDSC082	977.5	978.1	0.6	0.2	0.0	0.2
SDDSC082	978.1	978.5	0.4	0.2	0.0	0.2
SDDSC082	978.5	978.9	0.4	0.3	0.0	0.3
SDDSC082	978.9	979.7	0.8	0.8	0.0	0.8
SDDSC082	980.3	981.1	0.8	0.1	0.0	0.1
SDDSC082	981.8	982.4	0.6	0.1	0.0	0.1

SDDSC082	985.1	985.6	0.5	0.3	0.0	0.3
SDDSC082	985.6	985.9	0.3	0.6	0.0	0.6
SDDSC082	985.9	986.5	0.6	0.1	0.0	0.1
SDDSC082	986.5	986.8	0.3	0.1	0.0	0.1
SDDSC082	986.8	987.4	0.7	0.1	0.0	0.1
SDDSC082	987.4	987.9	0.5	0.1	0.0	0.1
SDDSC082	987.9	988.4	0.5	0.2	0.0	0.2
SDDSC082	989.4	989.9	0.5	0.1	0.0	0.1
SDDSC082	989.9	990.5	0.6	0.1	0.0	0.1
SDDSC082	990.5	990.9	0.5	0.1	0.0	0.1
SDDSC082	990.9	991.4	0.5	0.7	0.0	0.7
SDDSC082	991.9	992.4	0.5	0.3	0.0	0.3
SDDSC082	992.4	992.7	0.3	0.1	0.0	0.1
SDDSC082	992.7	993.6	0.9	0.1	0.0	0.1
SDDSC082	993.6	994.2	0.6	0.1	0.0	0.1
SDDSC082	994.5	994.8	0.3	0.2	0.0	0.2
SDDSC082	994.8	995.4	0.6	0.2	0.0	0.2
SDDSC082	995.4	995.7	0.3	18.4	0.0	18.4
SDDSC082	996.0	996.4	0.4	0.8	0.0	0.8
SDDSC082	1006.1	1006.5	0.5	0.2	0.0	0.2
SDDSC082	1010.0	1011.0	1.0	0.1	0.0	0.1
SDDSC082	1011.0	1012.0	1.0	0.2	0.0	0.2
SDDSC082	1027.3	1028.0	0.7	0.1	0.0	0.1
SDDSC082	1031.0	1031.9	0.9	0.1	0.0	0.1
SDDSC082	1031.9	1032.2	0.3	0.1	0.0	0.1
SDDSC082	1036.0	1036.9	0.9	0.1	0.0	0.1
SDDSC082	1036.9	1037.6	0.7	0.4	0.0	0.4
SDDSC082	1037.6	1037.7	0.1	24.3	0.0	24.3
SDDSC082	1037.7	1038.0	0.3	0.7	0.0	0.7
SDDSC082	1041.0	1041.9	0.9	0.3	0.0	0.3
SDDSC082	1041.9	1042.1	0.2	0.2	0.0	0.2
SDDSC082	1042.1	1042.5	0.4	0.2	0.0	0.3
SDDSC082	1042.5	1042.7	0.2	0.2	0.0	0.2
SDDSC082	1042.7	1043.6	0.9	0.2	0.0	0.2
SDDSC082	1043.6	1044.4	0.9	0.2	0.0	0.2
SDDSC082	1044.4	1045.5	1.1	0.1	0.0	0.1
SDDSC082	1047.9	1048.6	0.6	0.1	0.0	0.1
SDDSC082	1063.5	1064.5	1.0	0.1	0.0	0.1
SDDSC082	1064.5	1064.7	0.2	27.1	0.0	27.1
SDDSC082	1064.7	1064.9	0.2	16.9	5.7	25.9

SDDSC082	1064.9	1065.0	0.2	1.2	0.0	1.2
SDDSC082	1065.0	1065.3	0.3	0.0	0.0	0.0
SDDSC082	1070.5	1071.0	0.5	0.4	0.0	0.4
SDDSC082	1071.0	1071.6	0.6	0.2	0.0	0.2
SDDSC082	1071.6	1072.7	1.1	0.1	0.0	0.1
SDDSC082	1072.7	1073.1	0.5	0.8	0.0	0.8
SDDSC082	1074.0	1074.9	0.9	0.1	0.0	0.1
SDDSC082	1074.9	1076.0	1.1	1.0	0.0	1.0
SDDSC082	1077.0	1077.3	0.4	0.2	0.0	0.2
SDDSC082	1077.3	1077.8	0.4	0.3	0.0	0.3
SDDSC082	1081.0	1082.1	1.1	0.3	0.0	0.3
SDDSC082	1084.8	1085.3	0.5	0.7	0.0	0.7
SDDSC082	1093.8	1094.0	0.2	0.1	0.0	0.1
SDDSC082	1111.1	1112.0	0.9	0.1	0.0	0.1
SDDSC082	1112.9	1113.6	0.7	0.1	0.0	0.1
SDDSC082	1114.6	1115.4	0.8	0.1	0.0	0.2
SDDSC082	1131.1	1131.4	0.3	0.1	0.0	0.1
SDDSC083	274.3	275.0	0.7	0.1	0.0	0.1
SDDSC083	279.0	280.0	1.0	0.1	0.0	0.1
SDDSC083	281.0	282.0	1.0	0.0	0.0	0.1
SDDSC083	285.5	286.5	1.0	0.0	0.0	0.1
SDDSC083	286.5	287.5	1.0	0.2	0.0	0.2
SDDSC083	289.5	290.5	1.0	0.3	0.0	0.3
SDDSC083	290.5	291.1	0.7	0.0	0.0	0.1
SDDSC083	297.5	297.8	0.3	0.1	0.0	0.1
SDDSC083	299.8	300.4	0.6	0.1	0.0	0.1
SDDSC083	300.4	300.7	0.4	0.1	0.0	0.1
SDDSC083	300.7	301.6	0.8	0.1	0.0	0.1
SDDSC083	301.6	302.2	0.6	0.1	0.0	0.1
SDDSC083	302.2	302.9	0.7	0.3	0.0	0.3
SDDSC083	303.1	303.7	0.6	0.1	0.0	0.1
SDDSC083	309.5	310.1	0.6	0.0	0.0	0.1
SDDSC083	310.1	310.5	0.4	0.0	0.0	0.1
SDDSC083	313.2	313.5	0.3	0.0	0.0	0.1
SDDSC084	228.7	229.2	0.5	4.1	0.0	4.1
SDDSC084	245.8	246.5	0.7	1.2	0.0	1.3
SDDSC084	246.5	246.9	0.4	15.1	0.0	15.1
SDDSC084	246.9	247.5	0.7	0.7	0.0	0.7
SDDSC084	247.5	248.0	0.5	0.4	0.0	0.4
SDDSC084	248.0	248.5	0.5	0.3	0.0	0.3

SDDSC084	250.3	250.6	0.3	0.1	0.0	0.1
SDDSC084	250.6	251.1	0.5	0.0	0.0	0.1
SDDSC084	251.1	251.7	0.7	0.1	0.0	0.2
SDDSC084	253.0	253.5	0.5	0.1	0.0	0.1
SDDSC084	253.5	254.1	0.6	0.1	0.0	0.1
SDDSC084	254.1	254.8	0.7	0.7	0.0	0.7
SDDSC084	254.8	255.4	0.6	0.1	0.0	0.2
SDDSC084	255.9	256.5	0.6	0.1	0.0	0.1
SDDSC084	285.0	285.9	0.9	0.1	0.0	0.1
SDDSC084	285.9	286.6	0.7	0.1	0.0	0.1
SDDSC087	221.9	222.9	1.0	0.2	0.0	0.2
SDDSC087	222.9	223.7	0.8	12.8	0.0	12.8
SDDSC087	227.9	228.1	0.2	0.3	0.0	0.3
SDDSC087	228.1	229.0	0.9	0.1	0.0	0.1
SDDSC087	230.1	230.3	0.2	0.1	0.0	0.1
SDDSC087	230.3	230.7	0.4	9.5	0.5	10.2
SDDSC087	230.7	230.9	0.3	0.4	0.0	0.4
SDDSC087	230.9	231.3	0.3	2.9	0.0	3.0
SDDSC087	231.7	232.2	0.5	1.3	0.1	1.4
SDDSC087	232.2	232.9	0.7	0.7	0.0	0.7
SDDSC087	233.9	234.5	0.6	0.3	0.0	0.3
SDDSC087	234.5	235.3	0.8	0.5	0.0	0.6
SDDSC087	235.3	236.0	0.7	0.4	0.0	0.4
SDDSC087	236.4	237.1	0.7	0.2	0.0	0.2
SDDSC087	238.6	238.7	0.2	0.7	4.1	7.1
SDDSC087	238.7	239.3	0.6	0.3	0.0	0.4